

05

## Фазовый переход полидоменное состояние — монодоменное состояние с обменными спиралями в антиферромагнитной прослойке спин-вентильной структуры

© А.И. Морозов, Д.О. Рынков

Московский государственный технический университет радиотехники, электроники и автоматики, Москва, Россия

E-mail: mor-alexandr@yandex.ru

(Поступила в Редакцию 28 сентября 2011 г.)

Методами математического моделирования исследован фазовый переход полидоменное состояние — монодоменное состояние с обменными спиралями в антиферромагнитной прослойке спин-вентильной структуры ферромагнетик–антиферромагнетик–ферромагнетик, происходящий по мере роста отношения толщины прослойки к ширине атомных ступеней на границах раздела слоев. В широком диапазоне значений константы одноионной анизотропии определены критическое значение указанного отношения, при котором происходит фазовый переход, и величина прогиба обменных спиралей, возникающих на границах раздела слоев.

Работа выполнена при финансовой поддержке РФФИ (проект 11-02-12241-офи-м-2011).

### 1. Введение

Магнитные спин-вентильные структуры с эффектом гигантского или туннельного магнетосопротивления нашли широкое применение в считывающих головках жестких дисков, сенсорах магнитного поля и в магнито-резистивной памяти. Поэтому исследование их свойств представляет как фундаментальный, так и прикладной интерес.

Развитие технологий позволяет изготавливать структуры, в которых ширина атомных ступеней  $R$  на границах раздела слоев составляет десятки-сотни нанометров и превосходит толщину традиционных доменных стенок в используемых материалах. В этих условиях, как было показано в работе [1], необходимы выход за рамки обменного приближения и учет энергии одноионной анизотропии. Для уменьшения числа параметров в этой работе рассматривался случай равной толщины слоев в спин-вентильной системе и была рассчитана магнитная фазовая диаграмма спин-вентильной структуры ферромагнетик–антиферромагнетик–ферромагнетик в переменной толщина слоев–ширина ступеней на границах раздела. Исследовалась система с анизотропией типа легкая ось с легкой осью, лежащей в плоскости слоев.

Наличие атомных ступеней на границах раздела ведет к фрустрации обменного взаимодействия между ферромагнитными слоями в случае, когда атомные плоскости антиферромагнетика, параллельные границам раздела, являются нескомпенсированными, т.е. содержат атомы только одной из двух подрешеток коллинеарного антиферромагнетика (см., например, обзоры [2,3]). Действительно, по одну сторону края атомной ступени число атомных плоскостей в слое антиферромагнетика четно, а по другую — нечетно. В случае нечетного числа нескомпенсированных плоскостей антиферромагнетика спины

ферромагнитных слоев взаимодействуют с ближайшими к ним спинами антиферромагнетика, принадлежащими одной и той же подрешетке (рис. 1, *a*). При любом знаке обменного интеграла  $J_{\text{faf}}$  между соседними спинами, расположенными в различных слоях, энергетически выгодной является параллельная ориентация намагниченностей ферромагнитных слоев. Если же число атомных плоскостей в антиферромагнитном слое четно, то спины ферромагнитных слоев взаимодействуют с ближайшими к ним спинами антиферромагнетика, принадлежащими к различным подрешеткам, и энергетически выгодной является антипараллельная ориентация намагниченностей ферромагнитных слоев (рис. 1, *b*). Налицо фрустрация, порожденная атомной ступенью.

Таким образом, атомные ступени на обеих границах раздела разбивают плоскость, параллельную слоям, на области двух типов: в областях первого типа энергетически выгодной является параллельная ориентация намагниченностей ферромагнитных слоев, а в областях второго типа — антипараллельная. В области больших значений  $R$  фрустрации приводят к разбиению ферромагнитных слоев на домены.

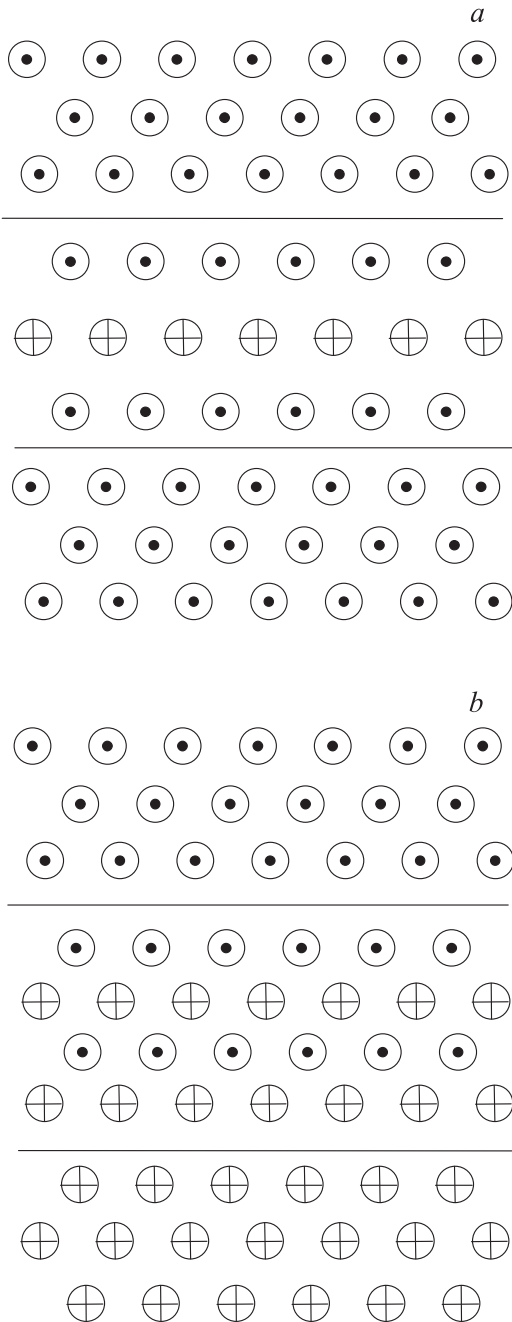
В [1] было показано, что в области толщин слоев  $a > \Delta_{\text{af}}$  ( $\Delta_{\text{af}}$  — толщина традиционной доменной стенки в антиферромагнетике), при выполнении условия

$$\gamma^{1/2} a > R > \Delta_{\text{af}}, \quad (1)$$

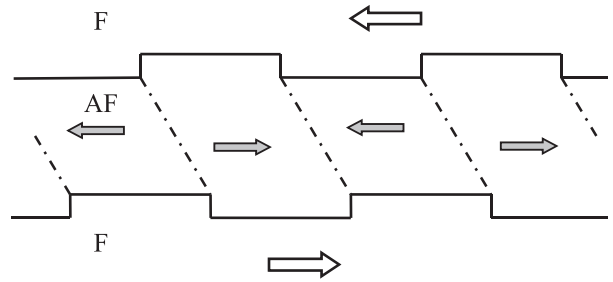
где  $\gamma$  — отношение энергий обменного взаимодействия в ферро- и антиферромагнетике, ферромагнитные слои остаются монодоменными, а в антиферромагнитной прослойке реализуется одно из двух возможных состояний: полидоменное состояние с  $180^\circ$  доменами или фаза, в которой антиферромагнитная прослойка остается в монодоменном состоянии, а вблизи границ раздела ферромагнетик–антиферромагнетик формируются

обменные спирали (рис. 2 и 3 соответственно). Переход между фазами имеет место при некотором критическом значении отношения  $a/R$ . В работе [1] оно было оценено как  $(3/4)^{1/2}$  в предположении, что энергия обменной спирали на границе раздела слоев равна энергии блоховской доменной стенки в антиферромагнетике. При этом не учитывался тот факт, что обменная спираль выгнута в сторону антиферромагнитного слоя.

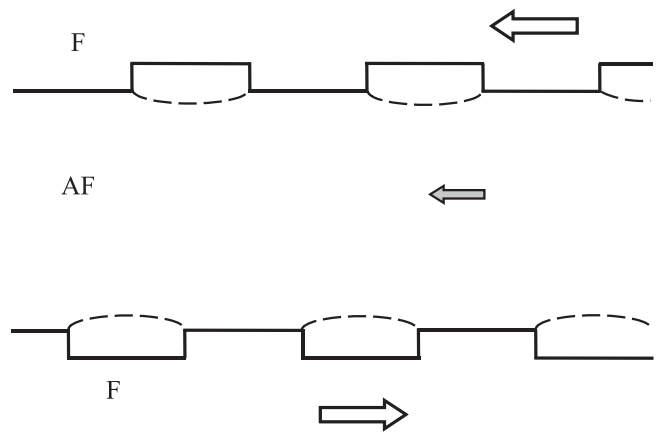
Действительно, вследствие того что энергия неоднородности параметра порядка меньше в антиферро-



**Рис. 1.** Ориентация спинов, отвечающая минимуму энергии, в случае нечетного (a) и четного (b) числа атомных плоскостей в антиферромагнитной прослойке.



**Рис. 2.** Полидоменное состояние антиферромагнитной прослойки. Стрелки указывают направление параметров порядка. Сплошными линиями показаны границы раздела слоев, штрихпунктирными — доменные стенки.



**Рис. 3.** Обменные спирали, параллельные границам раздела, в антиферромагнитной прослойке (штриховые линии). Остальные обозначения аналогичны приведенным на рис. 2.

магнетике, чем в ферромагнетике, обменная спираль стремится расположиться целиком в антиферромагнитном слое. Однако ее края должны совпадать с краями соседних атомных ступеней на границе раздела. Поэтому смещение средней части обменной спирали в антиферромагнетик сопровождается ростом ее поверхности и, следовательно, поверхностной энергии. Поведение обменной спирали аналогично поведению упругой мембраны, закрепленной на краях и находящейся в потенциальном рельефе.

Настоящая работа посвящена исследованию прогиба возникающих обменных спиралей и уточнению параметра  $a/R$ , соответствующего фазовому переходу в антиферромагнитной прослойке.

## 2. Описание модели

Рассмотрим трехслойную систему ферромагнетик–антиферромагнетик–ферромагнетик при температурах  $T \ll T_C, T_N$  ( $T_C$  — температура Кюри ферромагнетика, а  $T_N$  — температура Нееля антиферромагнетика), когда модули магнитных моментов атомов можно счи-

тать неизменными. Ограничимся рассмотрением локализованных квазиклассических спинов в приближении гейзенберговского обменного взаимодействия между ближайшими соседями. Направление локализованного спина будем задавать единичным вектором  $\mathbf{s}_i$ , а его величину включим в соответствующую константу взаимодействия. Тогда энергия обменного взаимодействия ближайших соседей принимает вид

$$W_{ij}^{\text{ex}} = -J_{ij}(\mathbf{s}_i, \mathbf{s}_j), \quad (2)$$

где обменный интеграл  $J_{ij}$  принимает в ферромагнетике значение  $J_f > 0$ , а в антиферромагнетике — значение  $J_{af} < 0$ , а на границе раздела — значение  $J_{f,af}$ . В дальнейшем ограничимся рассмотрением случая  $|J_{af}| \ll J_f$ . В противном случае искажения параметра порядка в антиферромагнитной прослойке практически отсутствуют, и задача сводится к задаче об искажениях параметра порядка в ферромагнитной пленке на жесткой антиферромагнитной подложке, рассмотренной в работе [4]. Будем также предполагать, что  $J_{f,af}$  и  $J_{af}$  одного порядка величины. В этом случае ширина области вблизи края атомной ступени на границе раздела ферромагнетик–антиферромагнетик, в которой относительная ориентация спинов ферро- и антиферромагнетика существенно отличается от параллельной, порядка межатомного расстояния [2,3]. При этом область слабых искажений магнитных параметров порядка на фазовой диаграмме отсутствует.

Будем считать, пренебрегая различием постоянных кристаллических решеток ферро- и антиферромагнетика, что кристаллические решетки слоев являются продолжением друг друга и что поверхность слоев соответствует срезу (100) тетрагональной объемно центрированной решетки с осью легкого намагничивания  $c$ , лежащей в плоскости слоя.

Введем декартову ортогональную систему координат с осями, параллельными кристаллографическим, причем ось  $x$  параллельна легким осям слоев, а ось  $z$  направлена перпендикулярно слоям. Для уменьшения числа параметров константы одноионной анизотропии слоев предполагались одинаковыми. С учетом этого энергия анизотропии имеет вид

$$W_{\text{an}} = K_{\perp} \sum_{i \in f} (s_i^{(z)})^2 - K_{\parallel} \sum_i (s_i^{(x)})^2, \quad (3)$$

где  $K_{\parallel} > 0$  — константа одноосной анизотропии,  $K_{\perp} > 0$  — константа поверхностной анизотропии ферромагнетика, введенная для того, чтобы учесть энергетическую невыгодность состояний, в которых намагниченность имеет  $z$ -составляющую, перпендикулярную поверхности. Прямой учет диполь-дипольного взаимодействия спинов и возникающих размагничивающих полей кардинально усложняет задачу и резко увеличивает время расчета.

Для нахождения равновесного распределения спинов проводилось моделирование их поведения на основе

системы уравнений Ландау–Лифшица–Гильберта

$$\hbar \frac{d}{dt} \mathbf{s}_i = [\mathbf{s}_i, \mathbf{H}_{\text{eff}}] + \mu \mathbf{H}_{\text{eff}}, \quad (4)$$

где  $\mu$  — затухание,

$$H_{\text{eff}}^p = -\frac{\partial W}{\partial s_i^p}, \quad (5)$$

$p = x, y, z$ , а  $W$  — суммарная энергия обмена и анизотропии.

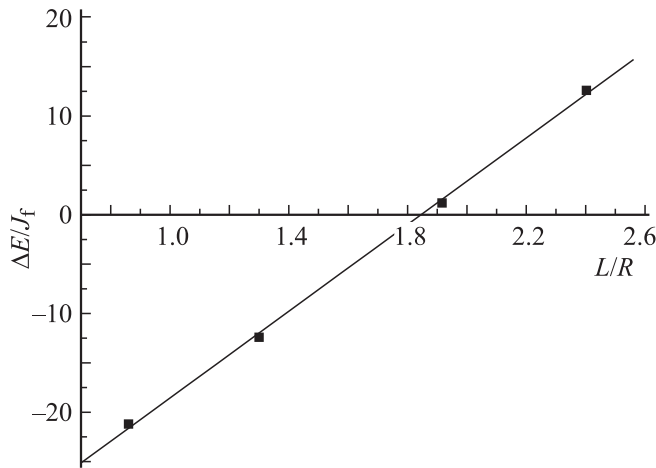
Решение системы уравнений (4) находилось „классическим“ методом Рунге–Кутты четвертого порядка. Приход к равновесию контролировался по поведению суммарной энергии системы.

В реальном кристалле разброс по ширине ступеней  $R$  приводит к размытию исследуемого нами фазового перехода первого рода. Поэтому для выявления отвечающих этому переходу параметров нами была рассмотрена идеализированная система, в которой параллельные оси  $y$  ортогональной системы координат атомные ступени на каждой границе раздела расположены периодически с периодом  $R$ , причем четные ступени приводят к возрастанию, а нечетные — к уменьшению толщины прослойки на одну атомную плоскость (рис. 2). Ступени на противоположных границах прослойки сдвинуты относительно друг друга по оси  $x$  на расстояние  $R/2$ . Таким образом, решалась двумерная задача с периодическими по  $x$  граничными условиями.

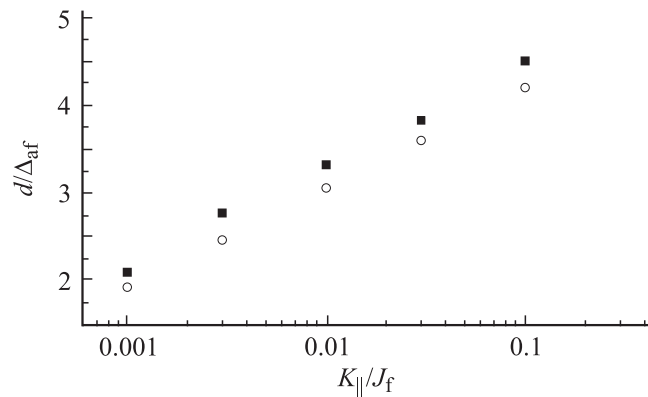
### 3. Результаты моделирования

Как показало моделирование, в полидоменной фазе параллельные друг другу доменные стенки соединяют края ступеней на противоположных границах прослойки. Их длина  $L$  в плоскости  $xz$  равна  $\sqrt{R^2/4 + a^2}$ . На расстоянии порядка  $\Delta_{\text{af}} = \sqrt{2|J_{\text{af}}|/K_{\parallel}}$  от краев атомных ступеней, ограничивающих доменную стенку, толщина последней возрастает от межатомного расстояния до величины порядка  $\Delta_{\text{af}}$ , а на остальной площади стенка представляет собой традиционную доменную стенку. При этом намагниченности ферромагнитных слоев однородны и коллинеарны. Здесь и далее размеры даны в единицах соответствующих постоянных кристаллической решетки.

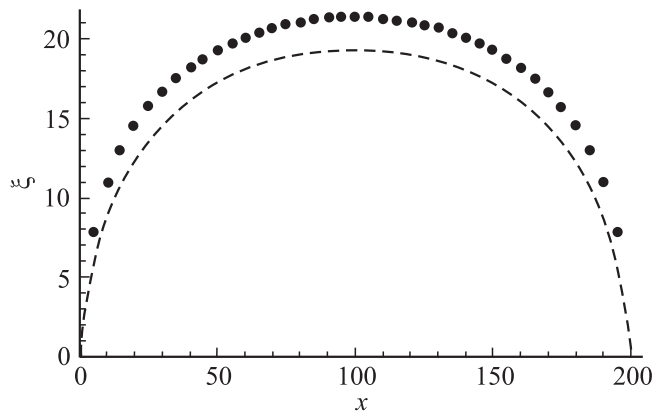
Легко понять, что доменной границе в антиферромагнетике энергетически выгодно соединять ступени на противоположных границах слоя, только если параметр  $L/R$  не превосходит некоторое критическое значение  $\xi$ . При  $L/R > \xi$  искажения антиферромагнитного параметра порядка имеют вид обменных спиралей, сосредоточенных вблизи границ раздела слоев, а объем антиферромагнетика находится в монодоменном состоянии. Взаимодействие между ферромагнитными слоями становится слабым, и главную роль играет энергия взаимодействия между соседними слоями.



**Рис. 4.** Зависимость разности энергий полидоменной и монодоменной фаз от параметра  $L/R$  для случая  $J_{af}/J_f = -0.1$ ,  $J_{f,af}/J_f = -0.1$ ,  $K_{||}/J_f = 0.01$ ,  $R = 200$ .



**Рис. 5.** Зависимость прогиба обменной спирали от константы анизотропии: результаты численного моделирования в случае  $J_{af}/J_f = -0.1$ ,  $J_{f,af}/J_f = -0.1$ ,  $R = 200$  — квадраты; и расчет в рамках аналитической модели — круги.



**Рис. 6.** Форма статической обменной спирали: результаты численного моделирования в случае  $J_{af}/J_f = -0.1$ ,  $J_{f,af}/J_f = -0.1$ ,  $K_{||}/J_f = 0.01$ ,  $R = 200$  (точки) и расчет в рамках аналитической модели (штриховая линия).

В отличие от случая обменных спиновых спиралей, возникающих в процессе перемагничивания двухслойной структуры жесткий ферромагнетик–мягкий ферромагнетик [5–7], исследуемые спиновые спирали возникают в отсутствие магнитного поля вследствие фрустраций и отвечают равновесному, а не метастабильному (как в системе жесткий ферромагнетик–мягкий ферромагнетик) состоянию. В обменной спирали происходит совокупный разворот параметров порядка на угол  $\pi$ . Пусть функция  $\xi(x)$  задает множество точек обменной спирали, в которых угол  $\theta_{af} = \pi/2$ , а максимальное значение  $\xi(x)$  — это прогиб обменной спирали  $d$ .

Поскольку исследуемый фазовый переход является переходом первого рода, полидоменная фаза и монодоменная фаза с обменными спиралями сосуществуют в широком диапазоне толщин слоев. Была рассчитана полная энергия спин-вентильной структуры в указанных фазах. Реализация той или иной фазы обеспечивалась соответствующим выбором начального распределения спинов. Зависимость разности энергий поли- и монодоменной фаз от отношения  $L/R$  изображена на рис. 4. Легко видеть, что фазовому переходу соответствует значение  $\xi = 1.84$ , а не  $\xi = 1$ , как это предполагалось первоначально [1]. Изменение константы анизотропии  $K_{||}$  в диапазоне  $0.001J_f - 0.1J_f$  приводило к изменению  $\xi$  не более чем на 10%.

Полученные в результате моделирования зависимость прогиба обменной спирали от константы анизотропии и форма обменной спирали изображены на рис. 5 и 6 соответственно.

#### 4. Аналитическая модель

Для аналитического исследования формы обменной спирали на границе раздела слоев рассмотрим следующую упрощенную модель. В силу неравенства  $d \ll R$  можно считать, что поверхностное натяжение обменной спирали в данной точке является функцией локального значения  $\xi(x)$ . Для нахождения этой функции рассмотрим обменную спираль в континуальном приближении, как это было сделано для случая обменной спирали на компенсированной границе раздела слоев [8]. Большая часть обменной спирали находится в антиферромагнетике, а меньшая — в ферромагнетике. В отсутствие внешнего магнитного поля углы разворота параметров порядка в плоскости слоев, отсчитанные от легкой оси, описываются следующими функциями [8]:

$$\cos \theta_f = \text{th} \left[ -\sqrt{2\alpha_f}(z - z_0) \right], \quad (6)$$

$$\cos \theta_{af} = \text{th} \left[ -\sqrt{2\alpha_{af}}(z - \xi) \right], \quad (7)$$

где для случая объемно центрированной решетки с восьмью ближайшими соседями

$$\alpha_{f(af)} = \frac{K_{||f(af)}}{4|J_{f(af)}} \ll 1. \quad (8)$$

Из условия на границе  $\theta_f(0) = \theta_{af}(0)$ , справедливого, когда константа анизотропии намного меньше  $|J_{f,af}|$ , имеем

$$z_0 = \xi \sqrt{\frac{\alpha_{af}}{\alpha_f}}. \quad (9)$$

Интегрируя по  $z$ , находим поверхностное натяжение доменной стенки

$$\tilde{\varepsilon}(\xi) = \frac{1}{2} \left[ (\varepsilon_{af} + \varepsilon_f) + \text{th} \left( \frac{\xi}{\Delta_{af}} \right) (\varepsilon_{af} - \varepsilon_f) \right], \quad (10)$$

где  $\varepsilon_{af}$  и  $\varepsilon_f$  — поверхностные натяжения блоховских доменных стенок в антиферромагнетике и ферромагнетике соответственно.

Энергия  $W$  обменной спирали в расчете на единицу длины вдоль оси  $u$  равна

$$W = \int_0^R dx \tilde{\varepsilon}(\xi) \sqrt{1 + (\xi'(x))^2}. \quad (11)$$

Здесь мы пренебрегли изменением поверхностного натяжения участков обменной спирали, находящихся на расстоянии порядка  $\Delta_{af}$  от краев атомных ступеней. Граничные условия имеют вид

$$\xi(0) = \xi(R) = 0. \quad (12)$$

Варируя функционал (11) по  $\xi$ , получаем уравнение Эйлера

$$\frac{\partial \tilde{\varepsilon}(\xi)}{\partial \xi} - \frac{\tilde{\varepsilon}(\xi) \xi''}{1 + (\xi')^2} = 0. \quad (13)$$

Пренебрегая слагаемым  $(\xi')^2 \ll 1$  и полагая, что  $\tilde{\varepsilon}(\xi) \approx \varepsilon_{af}$ , приходим к уравнению

$$\xi'' + \frac{\varepsilon_f - \varepsilon_{af}}{2\varepsilon_{af}\Delta_{af}} \text{ch}^{-2} \left( \sqrt{2\alpha_{af}\xi} \right) = 0. \quad (14)$$

Проводя замену переменных

$$\eta = \sqrt{2\alpha_{af}\xi} \equiv \xi/\Delta_{af}, \quad (15)$$

$$q = \frac{x}{\Delta_{af}} \sqrt{\frac{\varepsilon_f - \varepsilon_{af}}{\varepsilon_{af}}}, \quad (16)$$

приходим к уравнению

$$2\eta''_{qq} = -\frac{1}{\text{ch}^2 \eta}, \quad (17)$$

первая квадратура которого имеет вид

$$(\eta'_q)^2 = -\text{th} \eta + A. \quad (18)$$

В точке  $x = R/2$   $\eta'_q = 0$ , а величина  $\xi$  достигает максимального значения  $d$ . Тогда  $A = \text{th}(d/\Delta_{af}) \equiv \text{th} \eta_{\max}$  и

$$\eta'_q = \pm \sqrt{\text{th} \eta_{\max} - \text{th} \eta}. \quad (19)$$

На участке  $0 < x < R/2$  величина  $\eta' > 0$ . Поскольку  $\eta(0) = 0$  (12),

$$q = \int_0^{\eta} \frac{dp}{\sqrt{\text{th} \eta_{\max} - \text{th} p}}, \quad (20)$$

а прогиб обменной спирали находится из уравнения

$$\int_0^{\eta_{\max}} \frac{dp}{\sqrt{\text{th} \eta_{\max} - \text{th} p}} = q_{\max}, \quad (21)$$

где

$$q_{\max} \equiv \frac{R}{2\Delta_{af}} \sqrt{\frac{\varepsilon_f - \varepsilon_{af}}{\varepsilon_{af}}}. \quad (22)$$

Рассчитанные в рамках данной модели зависимость прогиба обменной спирали от константы анизотропии и форма обменной спирали приведены на рис. 5 и 6 соответственно. С точностью 10% они совпадают с результатами численного моделирования.

## 5. Заключение

Сформулируем выводы работы.

1. Изогнутость обменных спиновых спиралей приводит к повышению их поверхностной энергии и сдвигу точки фазового перехода первого рода из полидоменной в монодоменную фазу в сторону больших значений  $L/R$ .

2. Предложенная аналитическая модель с хорошей точностью описывает форму обменных спиновых спиралей в широком диапазоне значений константы анизотропии.

## Список литературы

- [1] А.И. Морозов, И.А. Морозов. ФТТ **50**, 1846 (2008).
- [2] А.И. Морозов, А.С. Сигов. ФТТ **46**, 385 (2004).
- [3] А.И. Морозов, А.С. Сигов. ФТТ **54**, 209 (2012).
- [4] А.И. Морозов. ФТТ **50**, 675 (2008).
- [5] E.E. Fullerton, J.S. Jiang, M. Grimsditch, C.H. Sowers, S.D. Bader. Phys. Rev. B **58**, 12 193 (1998).
- [6] J.S. Jiang, E.E. Fullerton, C.H. Sowers, A. Inomata, S. Bader, A.J. Shapiro, R.D. Shull, V.S. Gornakov, V.I. Nikitenko. IEEE Trans. Magn. **35**, 3229 (1999).
- [7] V.K. Vlasko-Vlasov, U. Welp, J.S. Jiang, D.J. Miller, G.W. Grabtree, S.D. Bader. Phys. Rev. Lett. **86**, 4386 (2001).
- [8] А.И. Морозов, Д.О. Рынков. ФТТ **49**, 1849 (2007).